

3次元渦運動のギ正準形式とウォートン解析

名大工 穀原真二 (Sinzi Kuwabara)

§1. まえがき

ここでは縮すことなく、粘性のない流体の3次元渦運動を考える。この3次元運動においては、位ベクトル、渦度の対応する成分を直接正準量¹⁾とし、その系のヘリシティーの半分をハミルトニアンとするとギ正準形式²⁾と書くこととする。³⁾対をなす通常の正準方程式の右辺の符号が正負に反るのに対し、ギ正準形式のそれは正である。

このギ正準方程式から近似的ルウォートンの方程式を導出する。渦系の切断と再結合には粘性の効果が必要である。数値積分において、空間、時間メッシュの分割から人工粘性が生ずるよ⁴⁾うに、ウォートン分割がそのよ⁵⁾うを効果を持つと言えても全く不合理ではなかろう。そこで渦の切断、再結合をウォートン近似ルフトで可能であると言えう。

§2. 3次元渦運動のギ正準形式

無限に広い領域での縮すことなく、粘性のない流体の渦運動

12. Lagrange 方程 $\alpha = (\alpha_1, \alpha_2, \alpha_3)$ と時刻 t を独立変数とする
3 位置ベクトル $x = x(\alpha, t)$ ($x(\alpha, 0) = \alpha$), 湍度ベクトル $\omega = \omega(\alpha, t)$ を用いて

$$\frac{dx}{dt} = v(\alpha, t) = \frac{1}{4\pi} \iiint \frac{1}{r^3} \omega(\alpha', t) \times p d^3 \alpha' \quad (2.1)$$

$$\begin{aligned} \frac{d\omega}{dt} &= e_\alpha \omega_\lambda \frac{\partial v_\lambda}{\partial x_\lambda} \quad (e_\alpha: \text{カルト単位ベクトル}) \\ &= \frac{1}{4\pi} \iiint \left[-\frac{1}{r^3} \omega(\alpha) \times \omega(\alpha') - \frac{3}{r^5} (p \cdot p) (\omega(\alpha') \times p) \right] d^3 \alpha' \end{aligned} \quad (2.2)$$

$$p = x(\alpha, t) - x(\alpha', t), \quad r = |p|$$

と書くことを覚えておこう。ここで $v(\alpha, t)$ は流速ベクトル r の湍度をもつとして Biot-Savart の法則で表されている。ここで p は無限遠からの効果は零だと仮定されている。一方 (2.2) 式は以下では、和の略記号がもろいからである。(2.1) (2.2) は湍運動を論ずるのを完全に閉じた形式である。すなはち、 $\omega(\alpha, t)$ の初期条件 ($\operatorname{div} \omega(\alpha, 0) = 0$) を与えれば、以後の湍運動は完全に決定される。(2.2) は容易に

$$\begin{aligned} \frac{d\omega}{dt} &= e_\alpha \omega_\lambda \frac{\partial v_\lambda}{\partial x_\lambda} \\ &= \frac{1}{4\pi} \iiint \left[\frac{1}{r^3} \omega(\alpha) \times \omega(\alpha') - \frac{3}{r^5} p (p \cdot (\omega(\alpha) \times \omega(\alpha'))) \right] d^3 \alpha' \end{aligned} \quad (2.2')$$

と書き換えることができる。

2) フーリエ級数微分を考える。I が 1 变数 x の関数 $f(x)$ の
汎関数、すなはち $I = I[f(x)]$ であるとき、 $f(x)$ を少し変化

とせ $f(x) + \delta f(x)$ と (x) とす、 I の変化 δI が

$$\begin{aligned}\delta I &= I[f(x) + \delta f(x)] - I[f(x)] \\ &= \int A(x) \delta f(x) dx + O(\delta f^2)\end{aligned}\quad (2.3)$$

と書かれてるよ。 $A(x) \in I$ の $f(x)$ の δ の汎関数微分とい。

$$A(x) = \frac{\delta I}{\delta f(x)} \quad (2.4)$$

と書かれてる。 f が x_1, \dots, x_L の関数であるならばあるには、 δf の式は

$$\begin{aligned}\delta I &= I[f(x_1, \dots, x_L) + \delta f(x_1, \dots, x_L)] - I[f(x_1, \dots, x_L)] \\ &= \int \int A(x_1, \dots, x_L) \delta f(x_1, \dots, x_L) d^L x + O(\delta f^2)\end{aligned}\quad (2.3')$$

$$A(x_1, \dots, x_L) = \frac{\delta I}{\delta f(x_1, \dots, x_L)} \quad (2.4')$$

又、多変数関数の多數の関数 $f_1(x_1, \dots, x_L), \dots, f_M(x_1, \dots, x_L)$ の汎関数のばあには

$$\begin{aligned}\delta I &= I[f_1 + \delta f_1, \dots, f_M + \delta f_M] - I[f_1, \dots, f_M] \\ &= \int \int \sum_{m=1}^M A_m(x_1, \dots, x_L) \delta f_m(x_1, \dots, x_L) d^L x + O(\delta f^2)\end{aligned}\quad (2.3'')$$

$$A_m(x_1, \dots, x_L) = \frac{\delta I}{\delta f_m(x_1, \dots, x_L)} \quad (2.4'')$$

とある。

今

$$I = \int F(f(x)) dx \quad (2.5)$$

9. 物の運動量の陽合は

$$\begin{aligned}\delta I &= \int F(f + \delta f) dx - \int F(f) dx \\ &= \int \frac{\partial F}{\partial f} \delta f(x) dx + O(\delta f^2)\end{aligned}$$

とおこう。

$$\frac{\delta I}{\delta f} = \frac{\partial F}{\partial f} \quad (2.6)$$

である。

$x(\alpha), \omega(\alpha)$ の運動量 $H[x, \omega]$ は

$$\begin{aligned}H[x, \omega] &= \frac{1}{8\pi} \iiint \iiint \frac{1}{r^3} \omega(\alpha') \cdot (\omega(\alpha'') \times p) d^3\alpha' d^3\alpha'' \\ &= \frac{1}{8\pi} \iiint \iiint \frac{1}{r^3} \epsilon_{\lambda\beta\gamma} \omega_\lambda(\alpha') \omega_\beta(\alpha'') r_\gamma d^3\alpha' d^3\alpha'' \quad (2.7)\end{aligned}$$

$$p = x(\alpha', t) - x(\alpha'', t), \quad r = |p|$$

と定義すれば

$$\begin{aligned}\frac{\delta H}{\delta \omega_\alpha(\alpha)} &= \frac{1}{8\pi} \iiint \frac{1}{r^3} \epsilon_{\alpha\beta\gamma} \omega_\beta(\alpha'') (x_\gamma(\alpha) - x_\gamma(\alpha'')) d^3\alpha'' \\ &\quad + \frac{1}{8\pi} \iiint \frac{1}{r^3} \epsilon_{\lambda\alpha\gamma} \omega_\lambda(\alpha') (x_\gamma(\alpha') - x_\gamma(\alpha)) d^3\alpha' \\ &= \frac{1}{4\pi} \iiint \frac{1}{r^3} \epsilon_{\alpha\beta\gamma} \omega_\beta(\alpha') r_\gamma(\alpha, \alpha') d^3\alpha' \\ &= \frac{1}{4\pi} \iiint \frac{1}{r^3} [\omega(\alpha') \times p]_\alpha d^3\alpha' \quad (2.8)\end{aligned}$$

$$\begin{aligned}\frac{\delta H}{\delta x_\alpha(\alpha)} &= \frac{1}{4\pi} \iiint \left(\frac{1}{r^3} \epsilon_{\alpha\beta\gamma} \omega_\beta(\alpha) \omega_\gamma(\alpha') \right. \\ &\quad \left. - \frac{3}{r^5} r_\alpha(\alpha, \alpha') \omega_\alpha(\alpha) \epsilon_{\lambda\beta\gamma} \omega_\beta(\alpha') r_\lambda(\alpha, \alpha') \right) d^3\alpha'\end{aligned}$$

$$= \frac{1}{4\pi} \iiint \left[\frac{1}{2^3} \omega(\alpha) \times \omega(\alpha') - \frac{3}{2^5} \pi (\omega(\alpha) \cdot (\omega(\alpha') \times \pi(\alpha, \alpha'))) \right] d^3\alpha' \quad (2.9)$$

まじで。(2.8), (2.9) と (2.1), (2.2') と比較すれば 2 番目が複雑

$$\frac{Dx}{Dt} = \frac{\delta H}{\delta \omega_\alpha} \quad (2.10)$$

$$\frac{D\omega_\alpha}{Dt} = \frac{\delta H}{\delta x_\alpha} \quad (2.11)$$

まじで。これらの方の左辺の「+」か「-」かの符号がつけば通常の正準形式となる。三二二の場合はも正準形式 pseud-canonical formulation と呼ぶこととする。

ヘリシテイ - $Hl(t)$ と

$$Hl(t) = \iiint v(x, t) \cdot \omega(x, t) d^3x \\ = \iiint v(\alpha, t) \cdot \omega(\alpha, t) d^3\alpha$$

と定義すれば、(2.1) が

$$Hl(t) = \frac{1}{4\pi} \iiint \iiint \frac{1}{2^3} \omega(\alpha, t) \cdot (\omega(\alpha', t) \times \pi) d^3\alpha d^3\alpha' \quad (2.12)$$

となり、(2.7) はヘリシテイの半分であることがわかる。

§3. も正準形式からラグランジアン近似の導出

△コンハラトを満たす場合 ($\omega \neq 0$ の領域の閉包が有界、閉

集合) を考え、二つ目細胞の分割 ℓ , $\ell=1, \dots, L$ と仮定を
つけ、各々力学系の単位とし近似する。特性関数

$$\Lambda^3(\alpha, \ell) = \begin{cases} 1, & \alpha \in \ell\text{-細胞} \\ 0, & \alpha \notin \ell\text{-細胞} \end{cases} \quad (3.1)$$

を定義する。 $\varepsilon = \varepsilon$

$$\iiint \Lambda^3(\alpha, \ell) d^3\alpha = V(\ell) \quad (3.2)$$

は ℓ 細胞の体積で、時間的に一定である。統計細胞の分裂を
考へるから厳密には分裂(あるいは初期)から次の分裂の間
体積は保存する。

細胞の運動を考へる時、細胞の広がりを位置ベクトル
 $\mathbf{x}(\alpha, t)$ ($\alpha / \Lambda^3(\alpha, \ell) = 1 / \varepsilon$ の位置ベクトル $X_\alpha(\ell, t)$)
で表わし、又濃度 $\omega_\alpha(\alpha, t)$ は $X_\alpha(\ell, t)$ に集中しておこうとし

$$x_\alpha(\alpha, t) = \sum_\ell X_\alpha(\ell, t) \Lambda^3(\alpha, \ell) \quad (3.3)$$

$$\omega_\alpha(\alpha, t) = \sum_\ell \Omega_\alpha(\ell, t) V(\ell) \delta^3(\alpha - A(\ell)) \quad (3.4)$$

$$X_\alpha(\ell, t) = x_\alpha(A(\ell), t) \quad (3.5)$$

と近似する。 (3.4) の $V(\ell)$ は Ω_α が濃度の逆元をもつとき
入力エネルギーである。一方 Ω は渦場と細胞の分割し、單一の
位置ベクトル $X(\ell, t)$ と濃度ベクトル $\Omega(\ell, t)$ で表わすことを
おつて、無限連續自由度の力学系と可附着自由度の力学系で
近似する方法をウォートン・モーテルなどと呼ぶ。

(2.7) の H の x, ω を (3.3), (3.4) の近似式を代入し、積分を実行すれば、 $H \approx X(l,t)$, $\Omega(l,t)$ の関数となる (3.3)。
 $\tilde{z} = z - X, \Omega$ について 1/2 の適合をとれば

$$\delta H = \sum_l \left(\frac{\partial H}{\partial X_\alpha(l)} \delta X_\alpha(l) + \frac{\partial H}{\partial \Omega_\alpha(l)} \delta \Omega_\alpha(l) \right) \quad (3.6)$$

で (3.2). すなはち H の x, ω について 1/2 の適合をとれば

$$\delta H = \iiint \left(\frac{\delta H}{\delta x_\alpha(a)} \delta x_\alpha(a) + \frac{\delta H}{\delta \omega_\alpha(a)} \delta \omega_\alpha(a) \right) d^3a \quad (3.7)$$

で (3.2). $\delta x_\alpha(a), \delta \omega_\alpha(a)$ が (3.3), (3.4) の式で定められる

$$\begin{aligned} \delta x_\alpha &= \sum_l \delta X_\alpha(l,t) \Lambda^3(a, l) \\ \delta \omega_\alpha &= \sum_l \delta \Omega_\alpha(l,t) D(l) \delta^3(a - A(l)) \end{aligned} \quad \left. \right\} \quad (3.8)$$

と近似すれば、(3.7) は

$$\begin{aligned} \delta H &= \sum_l \left[\iiint \frac{\delta H}{\delta x_\alpha(a)} \Lambda^3(a, l) d^3a \delta X_\alpha(l,t) \right. \\ &\quad \left. + \iiint \frac{\delta H}{\delta \omega_\alpha(a)} \delta^3(a - A(l)) d^3a D(l) \delta \Omega_\alpha(l,t) \right] \end{aligned} \quad (3.9)$$

で (3.2). ここで (3.6) と (3.9) は 2 つの式で IL-1 を左に、 H の適合の近似を行なうのであるが、この両者が一致しなければならないといふ条件（両立条件）を譯せば

$$\frac{\partial H}{\partial X_\alpha(l)} = \iiint \frac{\delta H}{\delta x_\alpha(a)} \Lambda^3(a, l) d^3a \quad (3.10)$$

$$\frac{\partial H}{\partial Q_{\alpha}(l)} = \iiint \frac{\delta H}{\delta \omega_{\alpha}(\alpha)} \delta^3(\alpha - A(l)) d^3\alpha V(l) \quad (3.11)$$

が成立す。

ゆえに (2.10), (2.11) は ω_{α} , ω_{α} は (3.3), (3.4) の

近似式 $\lambda^3(\alpha, l)$ の場合の対応方程式を表す。 (3.10), (3.11)

の左辺の形より (2.10) は $\iiint \alpha^3 \alpha \delta^3(\alpha - A(l)) V(l) \dots$ (2.11)

は $\iiint d^3\alpha \lambda^3(\alpha, l)$ のオペレーティング子と両者の左

辺は λ^3 の偏微分で表わされる。すなはち

$$\iiint \frac{Dx_{\alpha}}{Dt} \delta^3(\alpha - A(l)) d^3\alpha V(l) = \frac{\partial H}{\partial Q_{\alpha}(l)} \quad (3.12)$$

$$\iiint \frac{D\omega_{\alpha}}{Dt} \lambda^3(\alpha, l) d^3\alpha = \frac{\partial H}{\partial X_{\alpha}(l)} \quad (3.13)$$

ところで、左辺の積分を実行する結果

$$\frac{Dx_{\alpha}(l, t)}{Dt} = \frac{1}{V(l)} \frac{\partial H}{\partial Q_{\alpha}(l)} \quad (3.14)$$

$$\frac{DQ_{\alpha}(l, t)}{Dt} = \frac{1}{V(l)} \frac{\partial H}{\partial X_{\alpha}(l)} \quad (3.15)$$

ところで、(2.7) は (3.3), (3.4) の代入し、積分を実行すれば

$$H = \frac{1}{8\pi} \sum_{\ell'} \sum_{\ell''} \frac{E_{\alpha\beta\gamma}}{R(\ell', \ell'', t)}, \quad Q_{\alpha}(\ell', t) Q_{\beta}(\ell'', t) R_{\gamma}(\ell', \ell'', t) \\ V(\ell') V(\ell'') \quad (3.16)$$

$$R_{\alpha}(\ell', \ell'') = X_{\alpha}(\ell', t) - X_{\alpha}(\ell'', t), \quad R(\ell', \ell'', t) = |R(\ell', \ell'', t)|$$

とすると $\therefore \ell' = \ell'' \Rightarrow \ell' \neq 0/0 \Rightarrow \gamma$ 結果が異なる

2の項はのちに扱うとする。(3.16)を(3.14), (3.15)に代入し
ベクトル形で書けば

$$\frac{D\vec{X}(\ell, t)}{Dt} = \frac{1}{4\pi} \sum_{\ell'}' \frac{\vec{V}(\ell')}{R(\ell, \ell', t)}, \vec{Q}(\ell, t) \times \vec{R}(\ell, \ell', t) \quad (3.17)$$

$$\begin{aligned} \frac{D\vec{Q}(\ell, t)}{Dt} &= \frac{1}{4\pi} \sum_{\ell'}' \vec{V}(\ell') \left[\frac{1}{R(\ell, \ell', t)}, \vec{Q}(\ell, t) \times \vec{Q}(\ell', t) \right. \\ &\quad \left. - \frac{3}{R(\ell, \ell', t)^5} R(\ell, \ell', t) \right] \vec{Q}(\ell, t) \cdot (\vec{Q}(\ell', t) \times \\ &\quad \left. R(\ell, \ell', t)) \right] \end{aligned} \quad (3.18)$$

である。 $\sum_{\ell'}'$ は $\ell'=\ell$ の項を除くことを意味する。これはヴォートンの基礎方程式である。又、(2.10)
(2.11)より通常近似式も用いて、渦系近似をとることとする。

§ 4. 分裂するヴォートンと時間マッシュの短縮

以前に行なった給水装置の渦輪の數値実験⁴⁾で、始めは割合にすんぐりしてヴォートンを、ヴォートン間の非線形相互作用が強くなると、渦系の大きさのはじめから、急速に細長いヴォートンが成長することがわかつた。このような状況ではヴォートンを單一の位置ベクトルと速度ベクトルで表わすのが近似が悪く、ヴォートンの分裂を考える必要が生ずる。ヴォートンは、實際には時間の経過と共に複雑な変形をうけ

3である。しかし、この変形を簡単な長さと断面積の変化で表わしうると言える。すなはち、各ヴォートンの相当長さ、相当断面積という概念を導入し、ヴォートンの変形を大局的に考察する。今1つ1つのヴォートンに着目し、その相当長さ(温度と平行)を $\lambda(t)$ と相当断面積を $\sigma(t)$ とすれば、断面を円形と仮定(此時の相当直径は $2\sqrt{\sigma(t)/\pi}$ となる)。 λ は(相当)太さ比 $T_h(t)$ を

$$T_h(t) = \frac{2\sqrt{\sigma(t)/\pi}}{\lambda(t)} \quad (4.1)$$

で定義する。

ヴォートンを渦系の一部と考えれば、この断面積と温度の積すなはち循環は断面積と長さの積すなはち体積は時間的不变と言える。すなはち

$$\omega(t) \sigma(t) = T = \text{不変} \quad (4.2)$$

$$\lambda(t) \sigma(t) = V = \text{不変} \quad (4.3)$$

といふ条件を満たすことである。初期の T, V は与えられるから瞬時刻の $\omega(t)$ を計算すれば、(4.2), (4.3)は $t=2$ 時刻の $\sigma(t)$ と $\lambda(t)$ が、したがって $T_h(t)$ も(4.1)は $t=2$ で計算することができる。

實際の計算の面では、これは $T_h(t)$ は T_h と T_{h_0} をもつて、 $T_h(t)$ が T_{h_0} に違ひなければ、ヴォートンは分裂すると言える。

縦方向に 2 の等しいウォートンが分裂するとすれば、そのウォートンは消滅して、新たに X から Y の直角の側面相当長の $1/4$ の位置に、渦度が（分裂前と）同じ、相当長が半分、相当断面積が同じ、2つのウォートンが左右対称である。各ウォートンが $\pi/2$ の角度を評価を行って、計算を進めるわけである。

ウォートンの分裂を考えることは、流れの場の特徴的長さが減少することを意味する。このよどみ状況では、特徴的時間も減少すると考えられる。この力学系の複数の時間表示の考え方と $(\omega(\alpha, t))^{-1}$ がある。これは

$$\omega_{\max}(t) = \max_{\alpha} |\omega(\alpha, t)| \quad (4.4)$$

を定義し、初期の $\omega_{\max}(t)$ が 2 倍である、初期の時間 $\Delta t(0)$ の半分を新しい時間 Δt として、以下同様に種々を実行するものとする。各時刻の時間 Δt は

$$\Delta t(t) = \Delta t(0) / 2^{\text{Int}(\log_2(\omega_{\max}(t)/\omega_{\max}(0)))} \quad (4.5)$$

である。Int は小数部分をのぞき整数化することを意味する。

3.5. 縦方向 2 の渦輪

半径 a 、断面 $\frac{1}{4}\pi a^2$ 、循環 Γ の、同心、同じ強さの 2 の渦輪が、各渦輪と含む面が直交し、互いの中心を置くままで初期配位から、それらの発展をウォートン・モデルで計算

する。規格化は

$$x/a, t/(a^2/\pi), \nu(\pi/a), \omega/(\pi/a^2) \quad (5.1)$$

等である。初期値 ω_0 は $\omega_0 = 1$ とする。

$$b/a = 0.1, \Delta t(0) = 0.01 \quad (5.2)$$

初期には $20 \times 2 = 40$ 個のヴォートンがあるとする。

したがって

$$T_h(0) = 0.6366.. \quad (5.3)$$

である。また T_h の下限は $T_{h6} = 0.5$ とする。数値積分は辛形 Euler 法から、(3.17), (3.18) の方法で時間微分を計算す
るとき、この時刻と次の 1 ステップ先のそれを(近似値)の平均値をとる方法で行つる。

第 1 図は渦輪の発展を 3 面図で示してある。図中の NT
は渦輪にふくまれるヴォートンの数、 DT はその時刻における
の時間マッシュを示す。以下、エンストロフ、—(第 1 図, Es),
ヘリシティー(第 2 図, He), 運動エネルギー(第 3 図, Eu),
全運動エネルギー(第 3 図, TE), 渦輪の運動量(第 4 図,
Pu)), 全運動量(第 4 図, TP), 角運動量(第 5 図, AP(1)),
全角運動量(第 5 図, TAP), 全渦度(第 6 図, TO), 渦度の
初期値で規格化された L_2 ルム $(E_s(t)/E_s(0))^{0.5}$ は $a = 2$
として $\times 10^4 (\omega_{\max}(t)/\omega_{\max}(0))$ の逆数(第 7 図)
時間発展が示されている。ここで $t = 0 \sim 5$ は $a = t = 5 \sim 5.055$

が別の図を示す。図6の右側はウォートンの最小長さ（横軸）と渦輪全体の長さ（縦軸）の各時刻における値の軌跡が両対数グラフで示してある。

次に、上の種々な量は、

$$E_s(t) = \frac{1}{2} \iiint \omega(\alpha, t)^2 d^3\alpha \quad (5.4)$$

$$Hl(t) = \iiint w(\alpha, t) \cdot \omega(\alpha, t) d^3\alpha \quad (5.5)$$

$$E(t) = \frac{1}{8\pi} \iiint \iiint \frac{1}{2} \omega(\alpha, t) \cdot \omega(\alpha, t) d^3\alpha d^3\alpha' \quad (5.6)$$

$$P_\alpha(t) = \frac{1}{2} \iiint \epsilon_{\alpha\beta\gamma} x_\beta(\alpha, t) \omega_\gamma(\alpha, t) d^3\alpha \quad (5.7)$$

$$AP_\alpha(t) = \frac{1}{2} \iiint (x_\alpha(\alpha, t)^2 - x(\alpha, t)^2) \omega_\alpha(\alpha, t) d^3\alpha \quad (5.8)$$

$$TO_\alpha(t) = \iiint \omega_\alpha(\alpha, t) d^3\alpha \quad (5.9)$$

を総和の形でまとめて計算した。(5.6)では適当な近似で、自己エネルギー ($\alpha \approx \alpha'$) を考慮した。(5.8)の右辺では他の記号はつかわれてない。

§ 6. まず α^*

この論文では、3次元渦運動について、渦の位置ベクトルと渦度の対応する成分を正準共役変数にすれば、正準形式で書け、この力学系を完全に閉じた形で論じることを示した。渦場の細胞分割を行ひ、位置ベクトルと渦度の適当な近似を行つて、細胞を一つの位置ベクトルと渦度ベクトルで表わすとウォートン近似がえられることを示した。

渦の引きのばし効果によって、始めずんぐりしてウオートン半時間の経過と共に急速に細長のウオートンを2つに分かれていく。ここで細長いウオートンを1つの位置ベクトルと渦度を表わすければ逆数がかかるので、ウオートン分裂を考慮した。各ウオートンの相当太さ比を定義し、太さ比が下限を下り、それ以後すると縦に分裂するという条件を課した。ウオートンの分裂は流れの特徴的長さの減少を意味し、それによって特徴的時間も減少するから、時間半分にあたる、すなはち時間× $\frac{1}{2}$ を減らさなければ必要がある。流れの変数の中で $\omega(\alpha, t)^{-1}$ が時間の次元をもつ。ここで流れの中の渦度の最大値の逆数が半分になると時間× $\frac{1}{2}$ を半分にするよ；す時間半分の方法をとった。

以上の方針を経て2つの端輪の運動の解析にて $t=0 \sim 5.055$ の間で計算した。ウオートンの分裂、時間× $\frac{1}{2}$ の減少の経過は次のようである。 $t=0.56$ で最初の分裂(1次)が起り、 $t=1.86 \sim 2.12$ 、 $t=2.545 \sim 2.8$ 次、 $t=3.4825 \sim 3.74$ 次、 $t=4.7900 \sim 5$ 次、 $t=4.98875 \sim 6$ 次、 $t=5.0025 \sim 7$ 次、 $t=5.003375 \sim 8$ 次の分裂が各々最初に起つ。しかし $t=5.055$ の時刻は最初のウオートンの64分の1のウオートンが存在しておらずに存在する。時間× $\frac{1}{2}$ は $t=0 \sim \Delta t=0.01$ 、 $t=1.92 \sim \Delta t=0.0512$ 、 $t=3.070 \sim \Delta t=0.0025$

12. $t = 4.9600 \tau$ $\Delta t = 0.00125 \tau$, $t = 4.9975 \tau$ $\Delta t = 0.000625 \tau$, $t = 5.0375 \tau$ $\Delta t = 0.0003125 \tau$ 減少しを。
 $t = 4$ 附近からウォートンの数が急速に減少し、 $t = 5$ 附近より時間メッシュの減少しが急速に起こる。しかし、 $t = 5 \sim 5.055$ の計算の方が $t = 0 \sim 5$ の計算時間より長いからどう結果になった。

オ1回の $t \geq 5$ の図を見て、2つの渦輪のつなぎかじけ起つてない。2つの渦輪が接近した附近では非常に複雑な変形が起つていて。しかし、他方の渦輪の効果より、自分自身の相互作用によって多く変形してしまっている。

2の力エネルギーの保存量、全エネルギー(オ3回)、全運動量(オ4回)、全角運動量(オ5回)、全温度(オ6回)の保存は大体満足しそうのがあるが、ヘリシティーは $t = 2$ 近くまでは一定で、それ以後は振動する。その原因はまだわからず。オ6回にはウォートンの最大長さと渦輪全体の長さの時間的軌跡を両対数グラフで示してある。渦輪の渦線が理想的なラクラク曲線とすれば、その傾斜が -10° を有し、ラクラクの次元 D がかかるはずである。上の図からこれが $D = 1.05$ となる。

$$\text{温度の } 1 \text{ 次元 } L_2 \text{ は } L_2 \text{ は } \left[\int \int \int \omega(a, t)^2 a^3 da \right]^{1/2} \text{ は } a \cdots$$

$L_\infty / u_4 \omega_{\max}(t) = \max_{\alpha} |\omega(\alpha, t)|$ とおいて、 $t=5$ で

最高値で規格化し、速度と位置の時間的変化を図

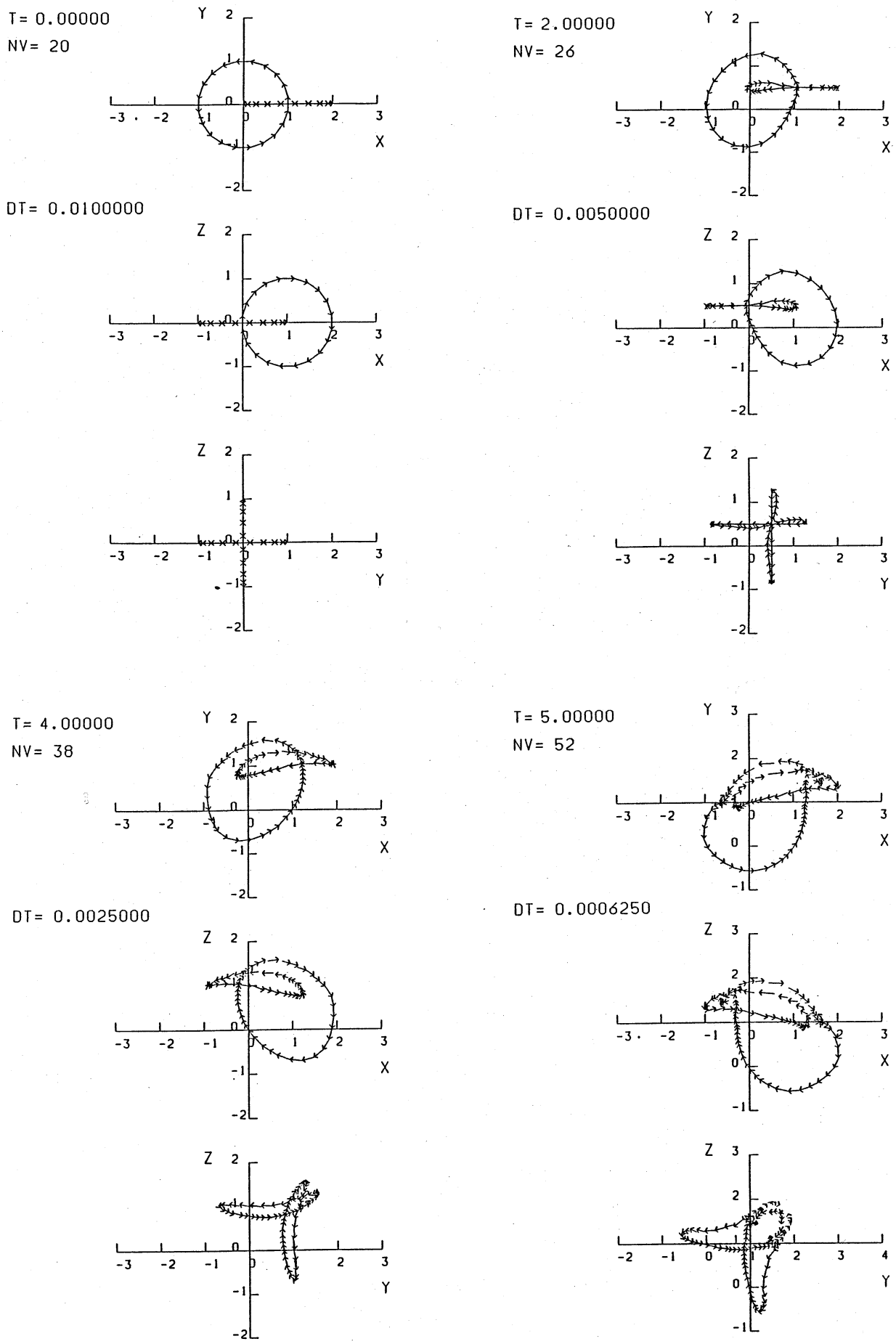
にしてある。それから $t=5$ の直後で、これらの量が

何であるかをみると、 $t=5$ 時度の u_4 が発散する傾

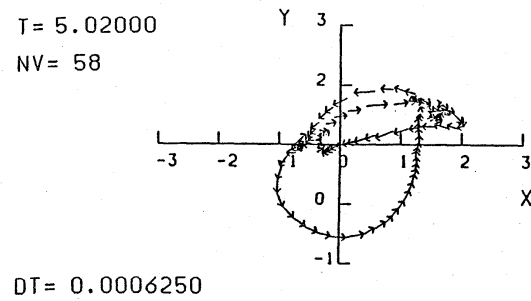
向があることを。これは Euler 方程の爆発の徴候である

参考文献

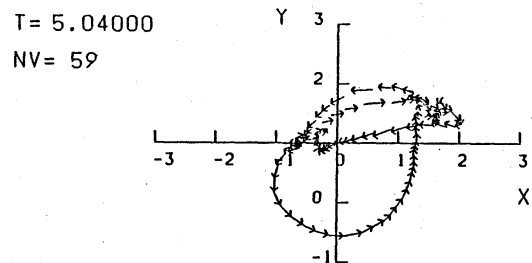
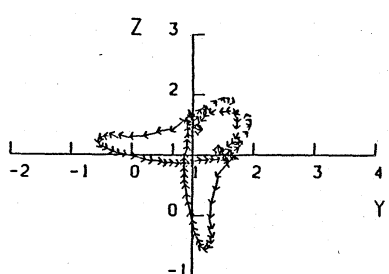
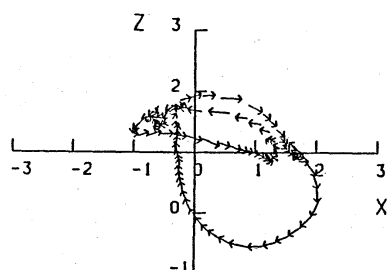
- 1) J. T. Beale and A. Majda: Math. Computation 39(1983)1.
- 2) J. T. Beale and A. Majda: Math. Computation 39(1983)29.
- 3) S. Kuwabara: Proc. of the Symp. on Mech. for Space Flight (1984)15.
- 4) S. Kuwabara: Proc. of the Sump. on Mech. for Space Flight (1985)31.
- 5) S. Kuwabara: J. Phys. Soc. Japan 54(1985) 4881.
- 6) A. Leonard: in Turbulent Shear Flows 2 (ed. by L. J. S. Bradbury et al., Springer, 1980).
- 7) B. Mandelbrot: in Turbulence and NS Equation (ed. by R. Teman, Springer, 1976)121.
- 8) E. A. Novikov: Sov. Phys., JETP 57(1983)566.
- 9) P. G. Saffman: in Transition and Turbulence (Academic Press, 1981)149.



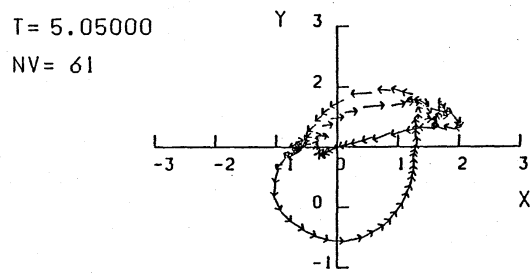
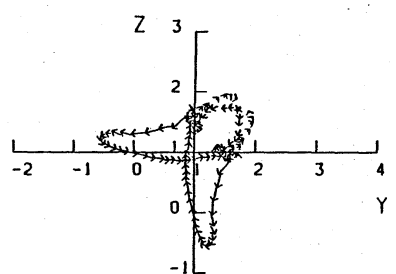
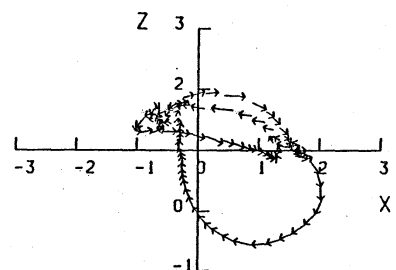
第1図. 絡まつた2つ渦輪の時間的発展1（3面図）



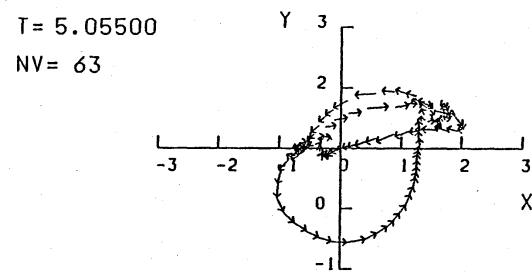
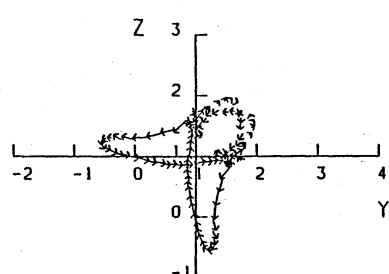
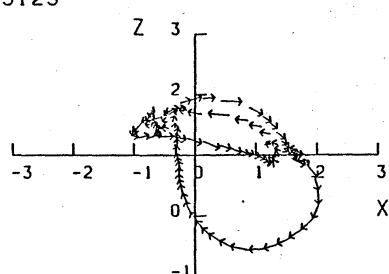
$DT = 0.0006250$



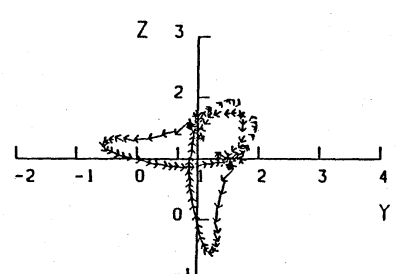
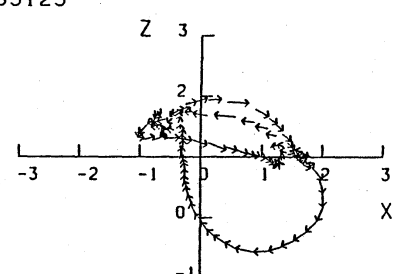
$DT = 0.0003125$



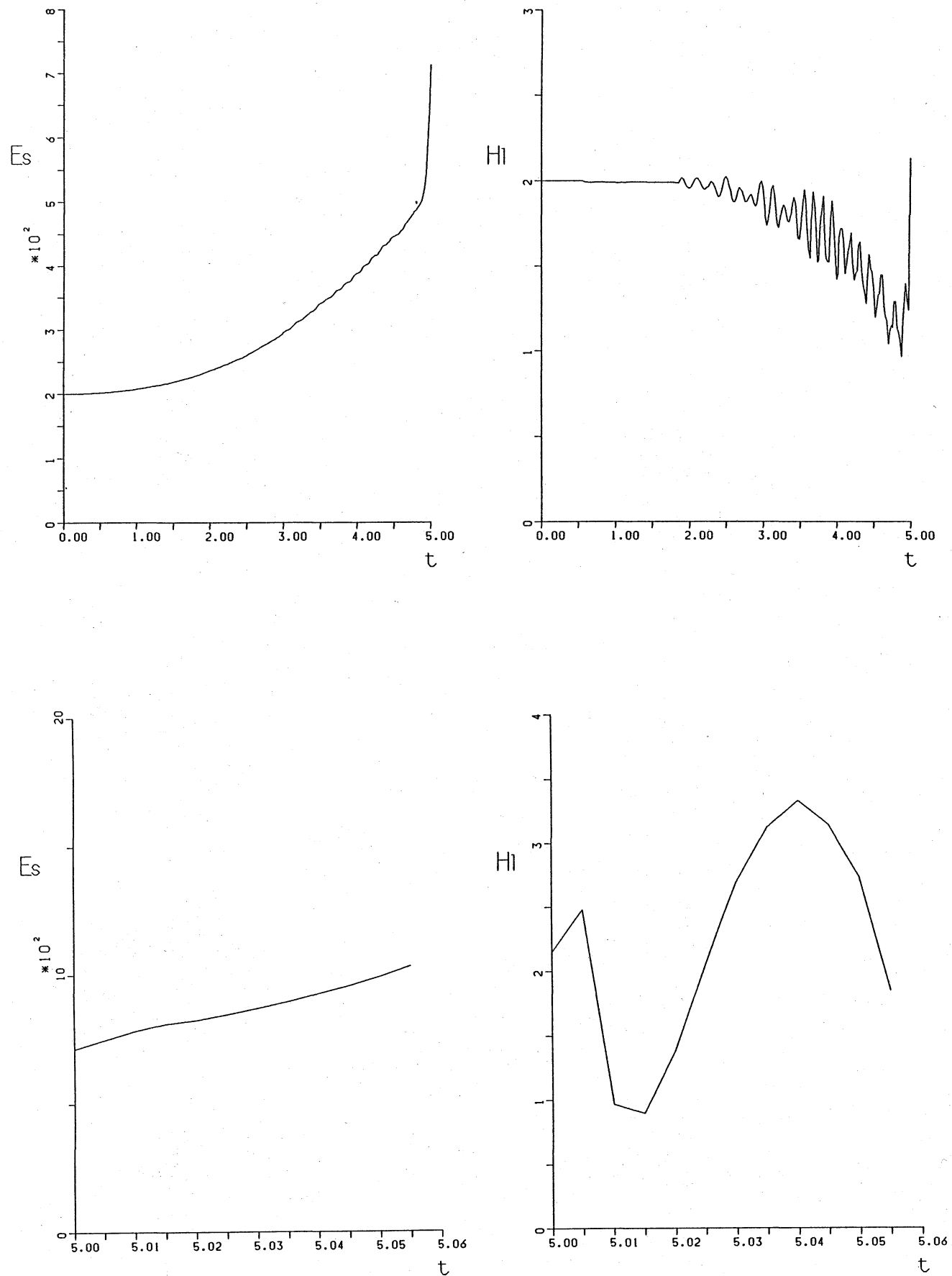
$DT = 0.0003125$



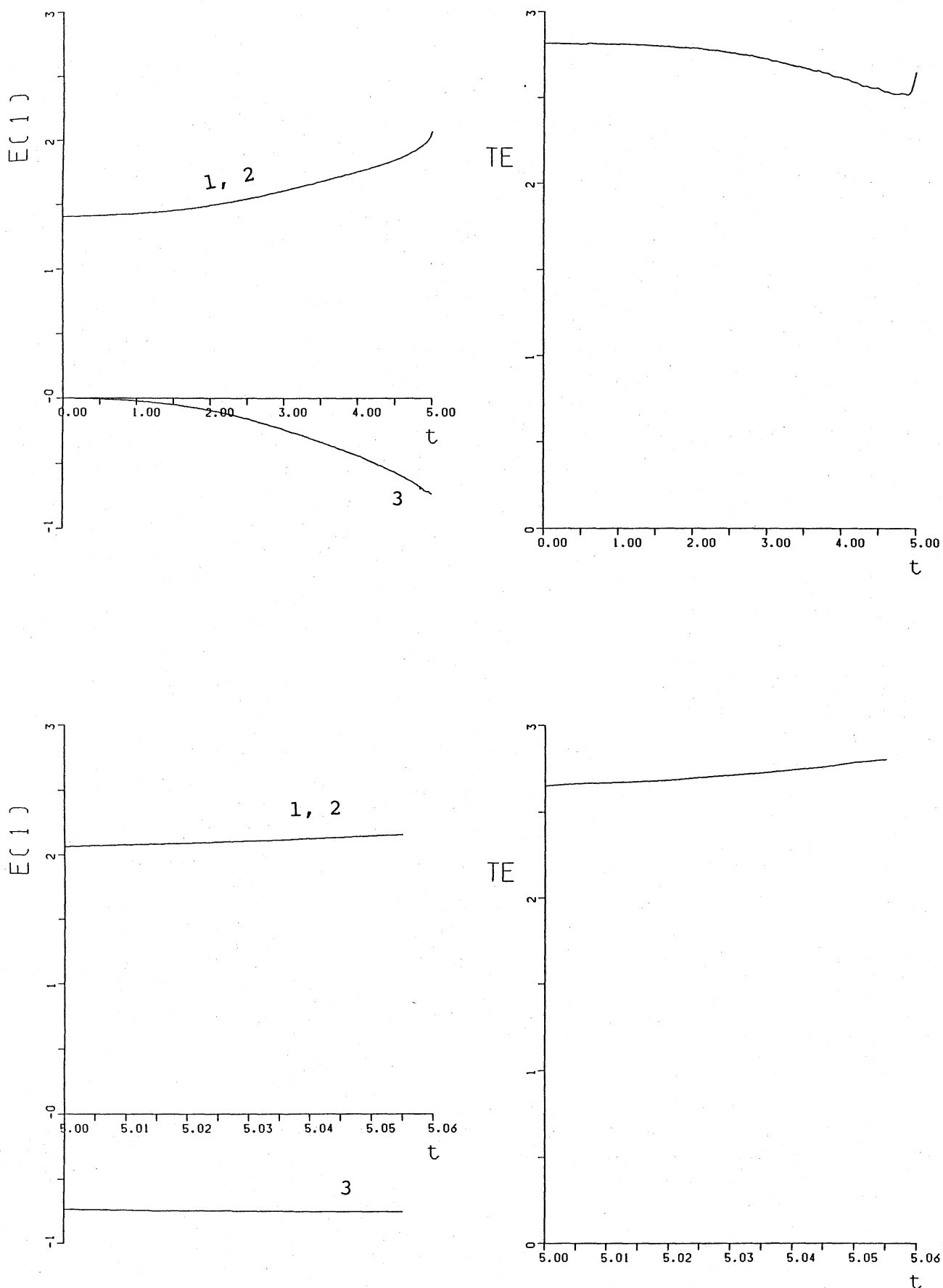
$DT = 0.0003125$



第1図. 絡まつた2つ渦輪の時間的発展2 (3面図)

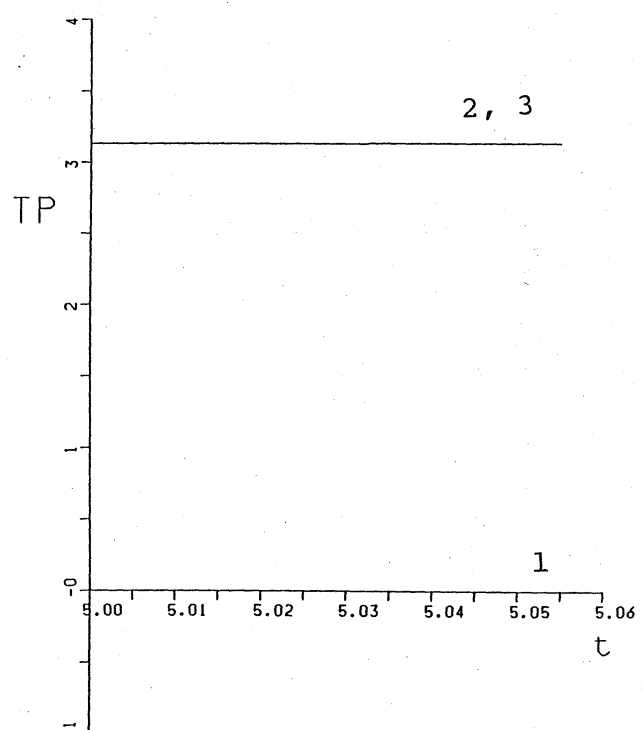
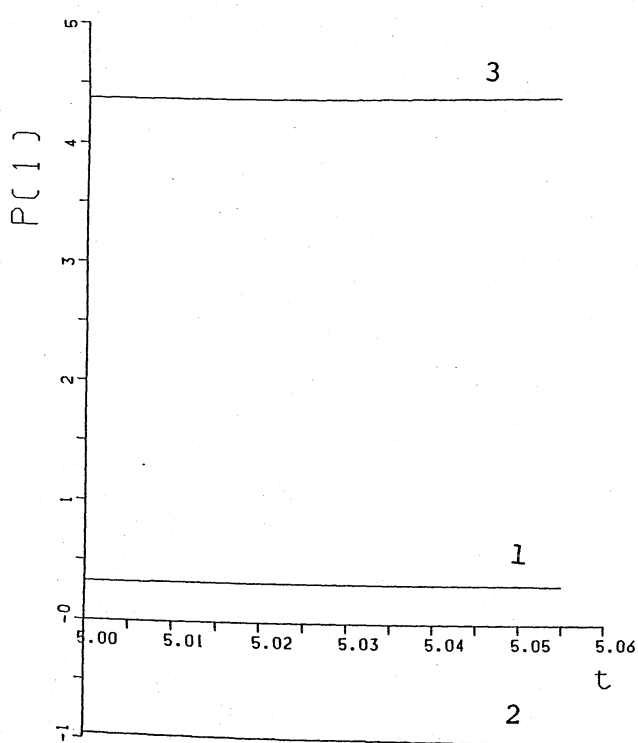
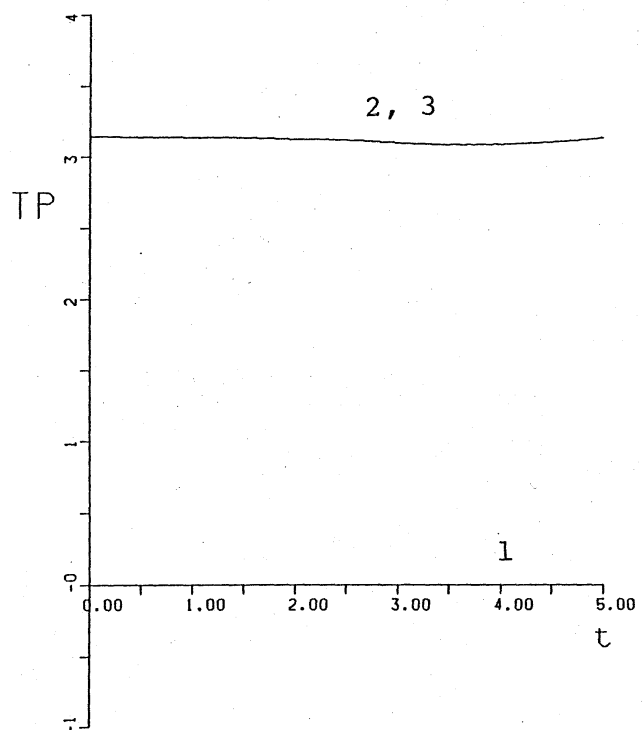
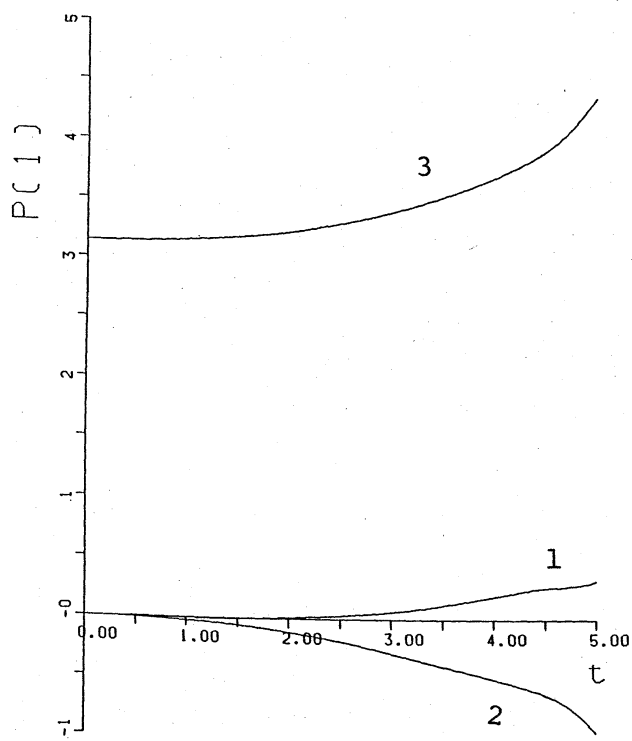


第2図. エンストロフィーとヘリシティーの時間的発展



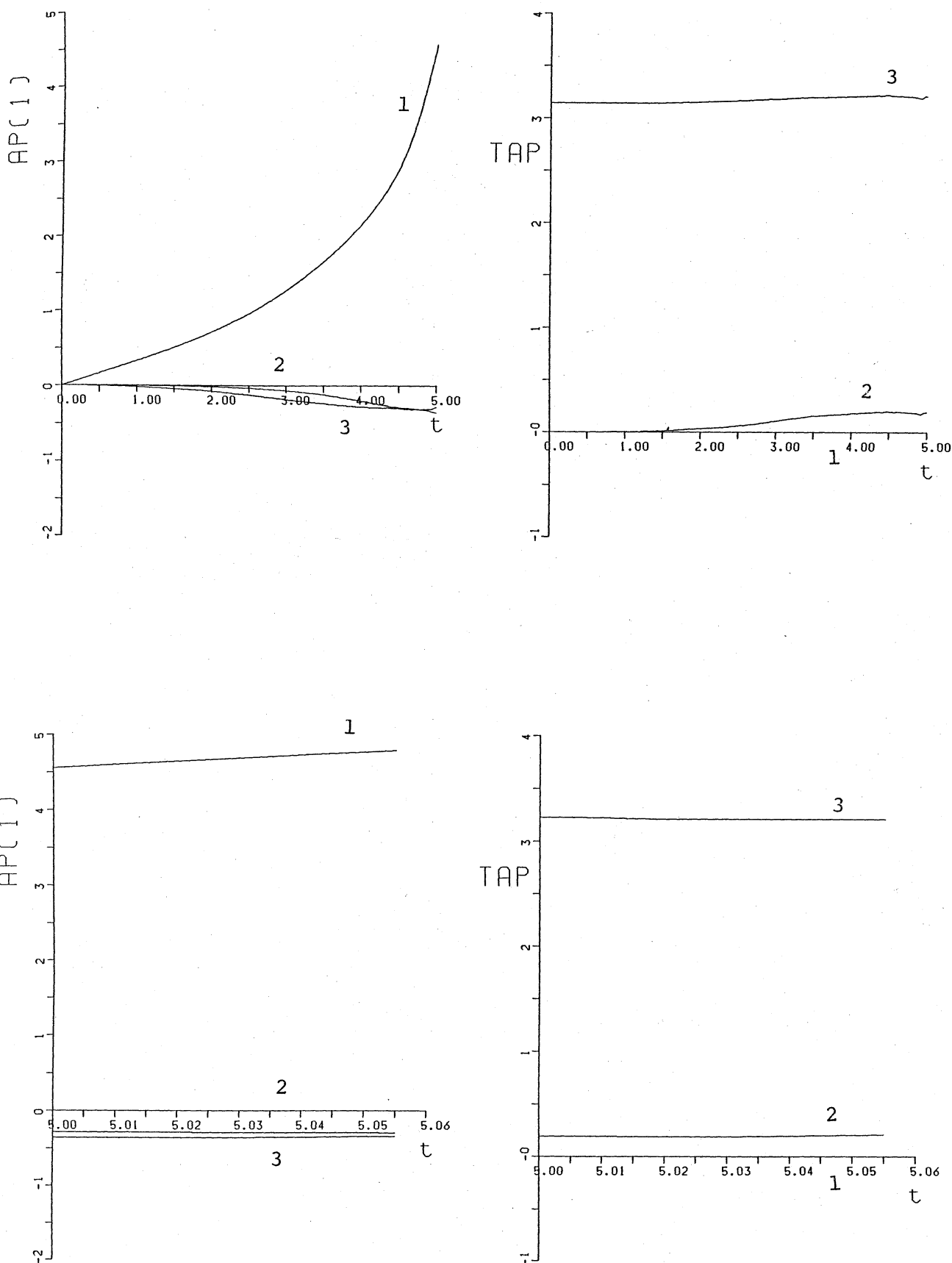
第3図. 運動エネルギーの時間的発展.

1 : 涡輪1, 2 : 涡輪2, 3 : 相互エネルギー,
TE : 全エネルギー

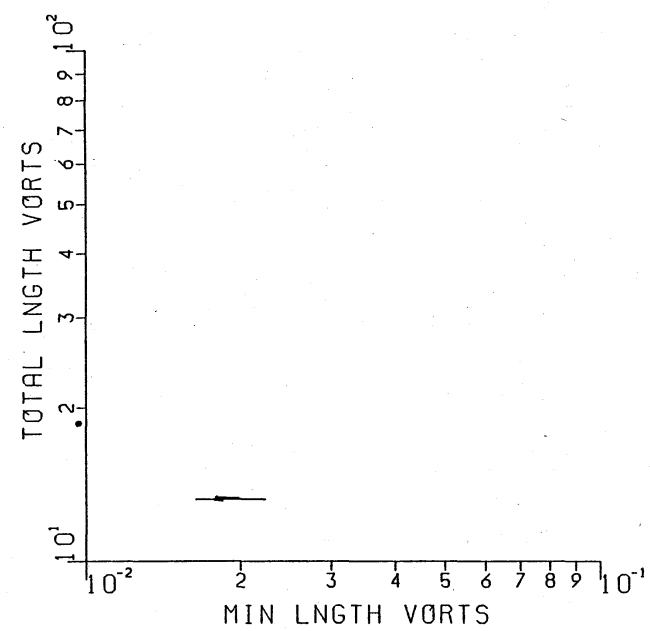
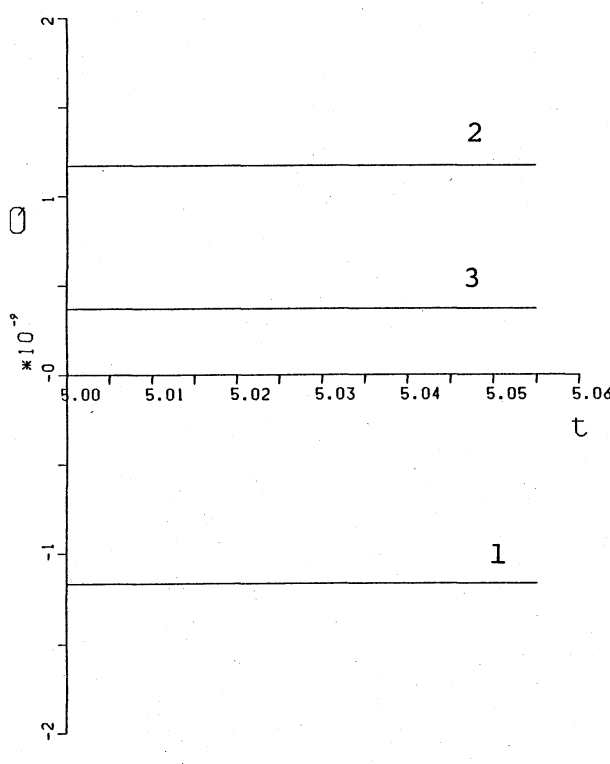
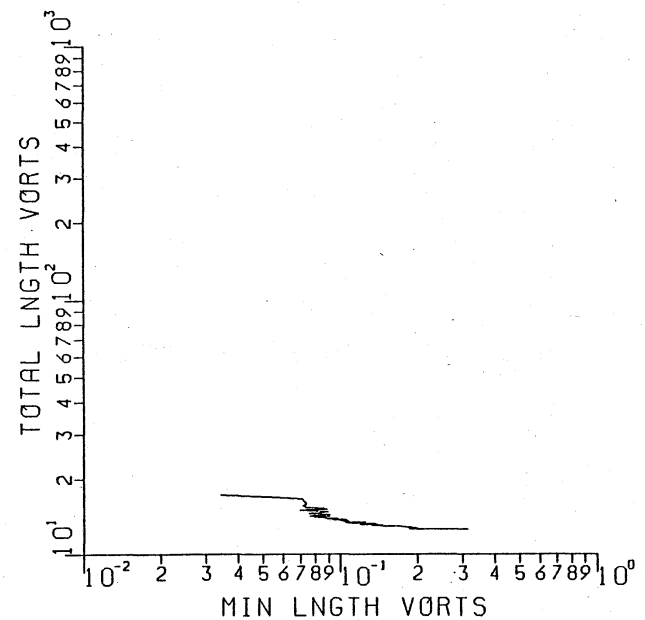
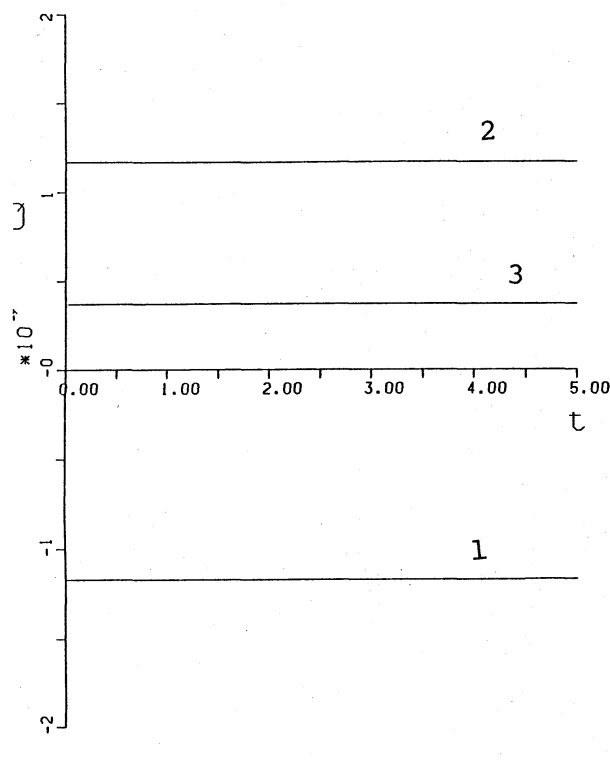


第4図. 運動量成分の時間的発展.

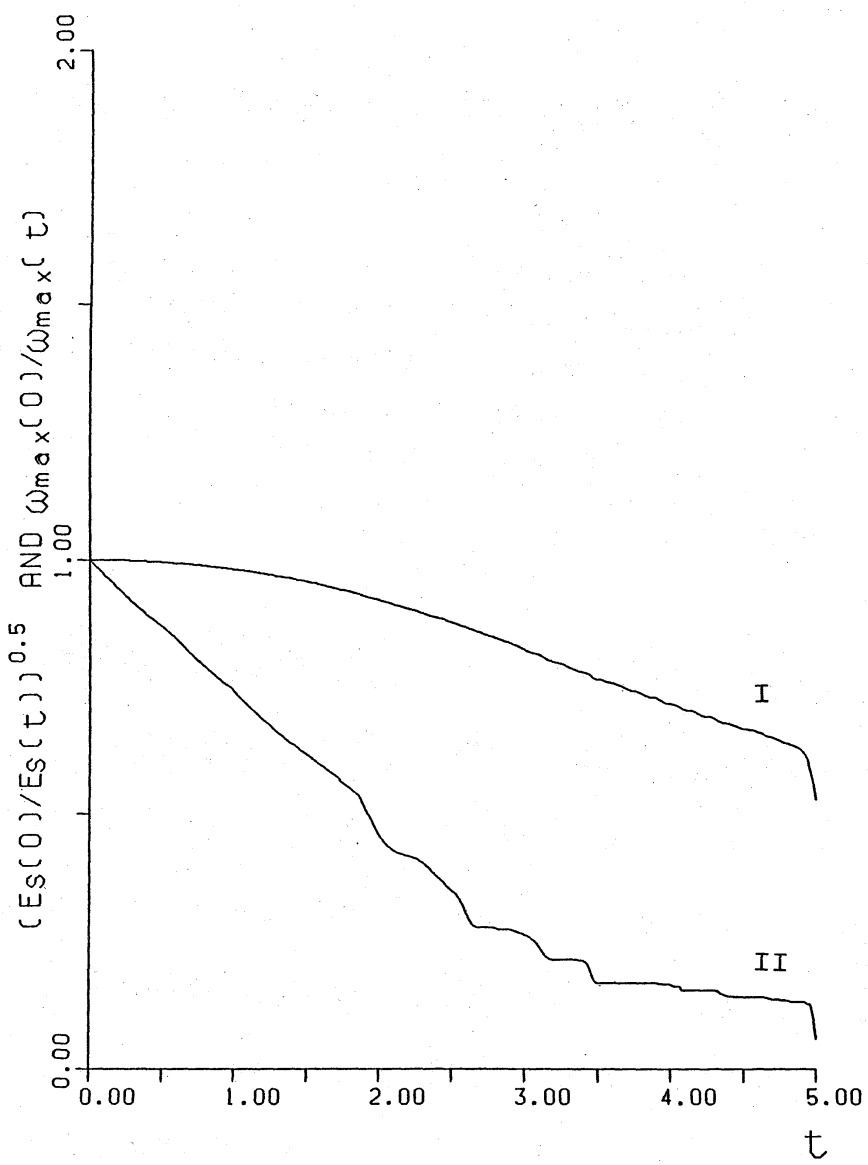
(1, 2, 3) : 成分, $P(1)$: 渦輪 1, TP : 全運動量



第5図. 角運動量成分の時間的発展。
AP (1) : 渦輪1, TAP : 全角運動量



第6図 全渦度の時間的発展およびヴォートンの最小長さと渦輪の長さの時間的軌跡



第7図. 涡度ノルムの逆数の時間的発展.

$$\text{I : } (E_s(0) / E_s(t))^{0.5}, \quad \text{II : } \omega_{\max}(0) / \omega_{\max}(t)$$